

## รายการอ้างอิง

- [1] Massie, N.S. Sulfiding of Tail Gas Catalyst Proper Preparation of Tail Gas Hydrogenation Catalyst for Long and Active life. Brimstone Sulfur Recovery Symposium Vail, Colorado September 11-14 (2007):1-6.
- [2] Nakhaei, A.P., Ali, M.R., Kherolah, J.J., Ali, M.,and Payman, K. Support effects on the chemical property and catalytic activity of Co-Mo HDS catalyst in sulfur recovery. Journal of Natural Gas Chemistry 19 (2010):91-95.
- [3] Dufresne, P. Hydroprocessing catalysts regeneration and recycling. Applied Catalyst A General 322 (2007):67-75.
- [4] Sang, C.P.,and Jong, S.C. Selective catalytic reduction of sulfur dioxide with hydrogen to elemental sulfur over Co-Mo/Al<sub>2</sub>O<sub>3</sub>. Applied Catalysis B: Environmental 5 (1995):233-243
- [5] Sanders, A.F.H., de Jong, A.M.D., de Beer, V.H.J., van Veen, J.A.R.,and Niemantsverdriet, J.W. Formation of cobalt-molybdenum sulfides in hydrotreating catalysts. Applied Surface Science 144-145 (1999):380-384.
- [6] Jepsen, J.S.,and Haward, F.R. Effect of Sulfiding Temperature on Dispersion and Chemical States of the Components of Co-Mo and Ni-Mo. Ind. Eng. Chem. Prod. Res. Dev. 20 (1981):467-474.
- [7] Halimanna, M.,and Steinfeld, A. Fuel saving, carbon dioxide emission avoidance, and syngas production by tri-reforming of flue gases from coal and gas-fired power stations, and by the carbothermic reduction of iron oxide. Energy 31 (2006):3171-3185.
- [8] Papadopoulou, Ch., Vakros, J., Matralis, H.K., Kordulis, Ch.,and Lycourghiotis, A. On the relationship between the preparation method and the physicochemical and catalytic properties of the CoMo/ $\gamma$ -Al<sub>2</sub>O<sub>3</sub> hydrodesulfurization catalysts. Journal of Colloid and Interface Science 261 (2003):146–153

- [9] Ferrari, M., Bernard, D.,and Pual,G. Influence of active phase loading in carbon supported molybdenum-cobalt catalysts for hydrodeoxygenation reactions. Microporous and Mesoporous Materials 56 (2002):279-290.
- [10] Raisoni, R.P.,and Sharad, G. Physicochemical Aspect of the Leaching of Molybdenum from Co-Mo/Al<sub>2</sub>O<sub>3</sub> Hydrodesulfurization Catalyst Waste Using DMSO-SO<sub>2</sub> Mixed Solvent. Ind. Eng. Chem. Prod. Res. 29 (1990):14-21.
- [11] Xiangtian, W., Gousheng, L., Jianguo, Y.,and Rodrigues, A.E. Preparation , characterization and deactivation studies of Co-Mo/Al<sub>2</sub>O<sub>3</sub> deoxidizing catalyst. Applied Catalysis A: General 270 (2004):143-149.
- [12] Koizumi, N., Masato, Y., Shigeto, H.,and Muneyoshi, Y. Interaction between Mo and Co on Co-Mo/Al<sub>2</sub>O<sub>3</sub> sulfided at high pressure (<5.1 MPa) by means of high pressure DRIFT and EXAFS method. Catalysis Today 39 (1997):33-44.
- [13] Ivam, J.R.M., Jessica, F.,and Julio, C. Hydrometallurgical route to recovery molybdenum, nickel, cobalt and aluminum from spent hydrotreating catalysts in sulphuric acid medium. Journal of Hazardous Materials 160 (2008):310-317.
- [14] Gou, Z.B., Yi-Lu, F.,and Yun-sheng, M. Structure of Co-K-Mo/Y-Al<sub>2</sub>O<sub>3</sub> catalysts and their catalytic activity for mixed alcohols synthesis. Catalysis Today 51 (1999): 187-193.
- [15] Usman, Tomoya, Y., Takeshi, K.,and Yasuaki, O. Effect of phosphorus addition on the active sites of a Co-Mo/Al<sub>2</sub>O<sub>3</sub> catalyst for the hydrodesulfurization of thiophene. Applied Catalysis A: General 328 (2007):219-225.
- [16] Huirache-Acuna, R., Pawelec, B., Rivera-Munoz, E., Nava, R.,and Espino, J. Comparison of the morphology and HDS activity of ternary Co-Mo-W catalysts supported on P-modified SBA-15 and SBA-16 substrates. Applied Catalysis B: Environmental 92 (2009) :168-184
- [17] Jaap, A.B., Marcel, J., Bob, G.L., Tom, V.,and Krijn, P.D.J. Influence of the preparation method on the hydrotreating activity of MoS<sub>2</sub>/Al<sub>2</sub>O<sub>3</sub> extrudates : A Raman microspectroscopy study on the genesis of the active phase. Journal of Catalysis 243 (2006):292-302

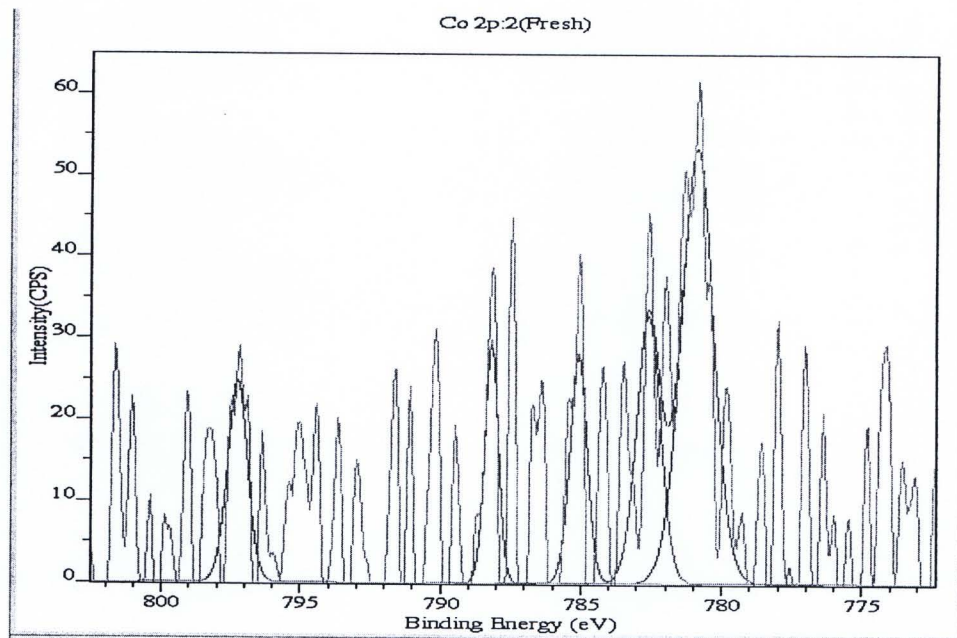
- [18] Takeshi, K. et al. In situ XAFS study of the sulfidation of Co–Mo/B<sub>2</sub>O<sub>3</sub>/Al<sub>2</sub>O<sub>3</sub> hydrodesulfurization catalysts prepared by using citric acid as a chelating agent. *Applied Catalysis A: General* 373 (2010):214–221
- [19] Christodoulakis, A., Heracleous, E., Lemonidou, A.A.,and Boghosian, S. An operando Raman study of structure and reactivity of alumina-supported molybdenum oxide catalysts for the oxidative dehydrogenation of ethane. *Journal of Catalysis* 242 (2006):16–25
- [20] Dugulan, A.I., Craj, M.W.J.,and Kearley, G.J. High-pressure in situ Mossbauer emission spectroscopy study of the sulfidation of calcined Co–Mo/Al<sub>2</sub>O<sub>3</sub> hydrodesulfurization catalysts. *Journal of Catalysis* 222 (2004):281–284
- [21] Kim, H.I., Kyung-Ho, P.,and Devabrata, M. Sulfuric acid baking and leaching of spent Co-Mo/Al<sub>2</sub>O<sub>3</sub> catalyst. *Journal of Hazardous Materials* 166 (2009):1540–1544
- [22] Bas, V., Peter, S., Dick, A.v.L., Sonja, E.,and Jacob, A.M. Deactivation of Mo/Al<sub>2</sub>O<sub>3</sub> and NiMo/Al<sub>2</sub>O<sub>3</sub> catalysts during hydrodesulfurization of thiophene. *Applied Catalysis A: General* 251 (2003):85–92
- [23] Minghui, H., Yoichi, M., Masaru, O., Shigeo, M.,and Tatsuya, O. Morphology and chemical state of Co–Mo catalysts for growth of single-walled carbon nanotubes vertically aligned on quartz substrates. *Journal of Catalysis* 225 (2004):230 –239
- [24] Anatoli , A.D., Valentina, I.M.,and Marina, L. Metal oxides in hydrogen sulfide oxidation by oxygen and sulfur dioxide I. The comparison study of the catalytic activity. Mechanism of the interactions between H<sub>2</sub>S and SO<sub>2</sub> on some oxides. *Applied Catalysis A: General* 244 (2003):93–100
- [25] Chun-Liang, C., Ching-Huei, W.,and Hung-Shan, W. Supported transition-metal oxide catalysts for reduction of sulfur dioxide with hydrogen to elemental sulfur. *Chemosphere* 56 (2004):425–431
- [26] Kuo-Tseng, L.,and Yao-Chun, H. Hydrogenation of sulfur dioxide to hydrogen sulfide over Fe/Al<sub>2</sub>O<sub>3</sub> catalysts. *Applied Catalysis B : Environmental* 40 (2003):13–20

- [27] Yinyong, S. and Roel, P. Mechanistic studies and kinetics of the hydrodesulfurization of dibenzothiophene on Co-MoS<sub>2</sub>/Al<sub>2</sub>O<sub>3</sub>. Journal of Catalysis 267 (2009):193–201
- [28] Kogan, V.M., Gaziev, R.G., Lee, S.W.,and Rozhdestvenskaya, N.N. Radioisotopic study of (Co)Mo/Al<sub>2</sub>O<sub>3</sub> sulfide catalysts for HDS Part III Poisoning by N-containing compounds. Applied Catalysis A: General 251 (2003):187–198

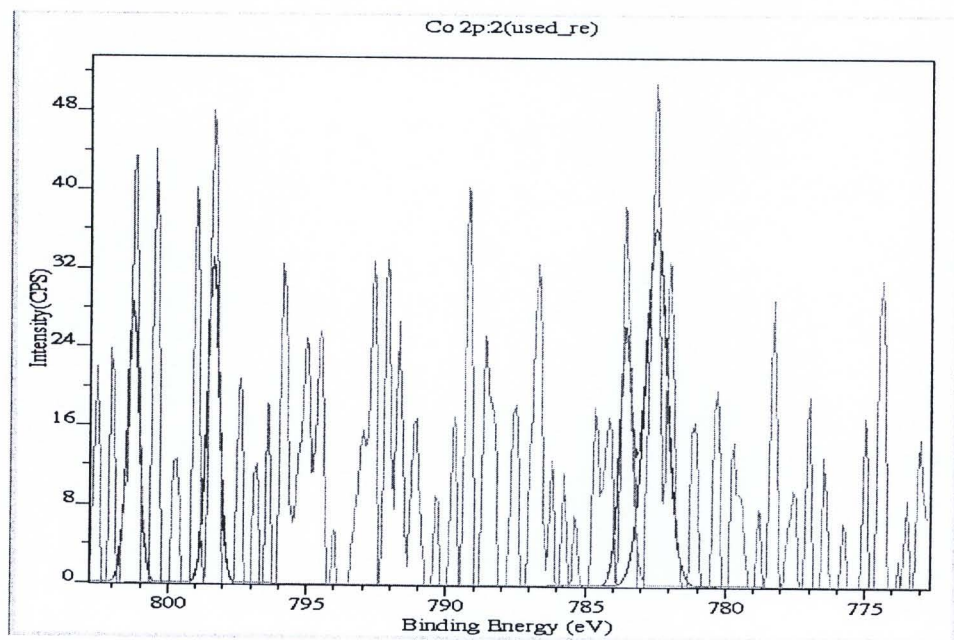
ภาคผนวก

### ภาคผนวก ก

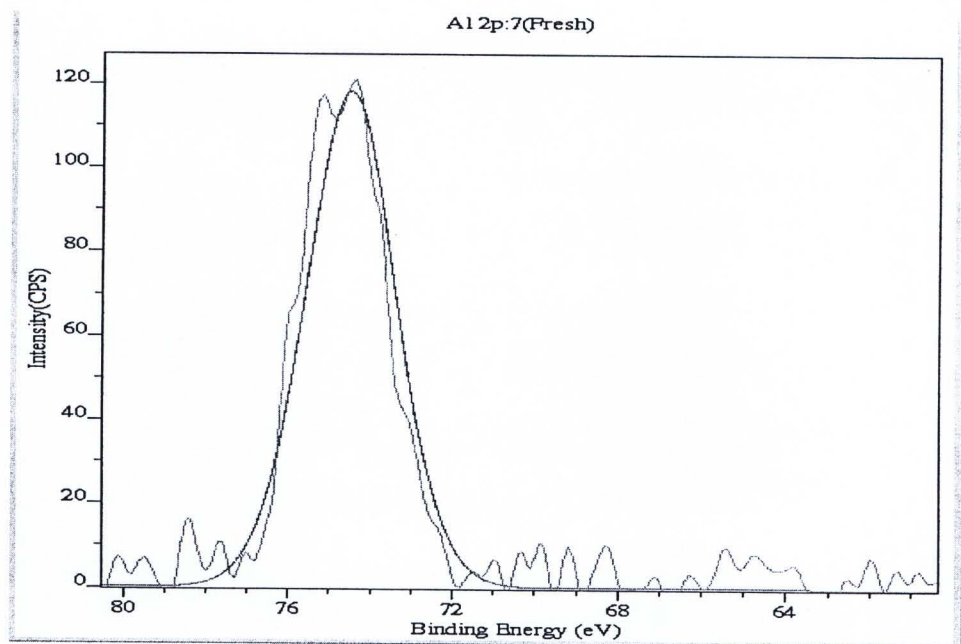
#### ผลเครื่องเอ็กซ์เรย์ฟอโตอิเล็กตรอนสเปกต์โรสโคปี (XPS) ชิ้น ๆ



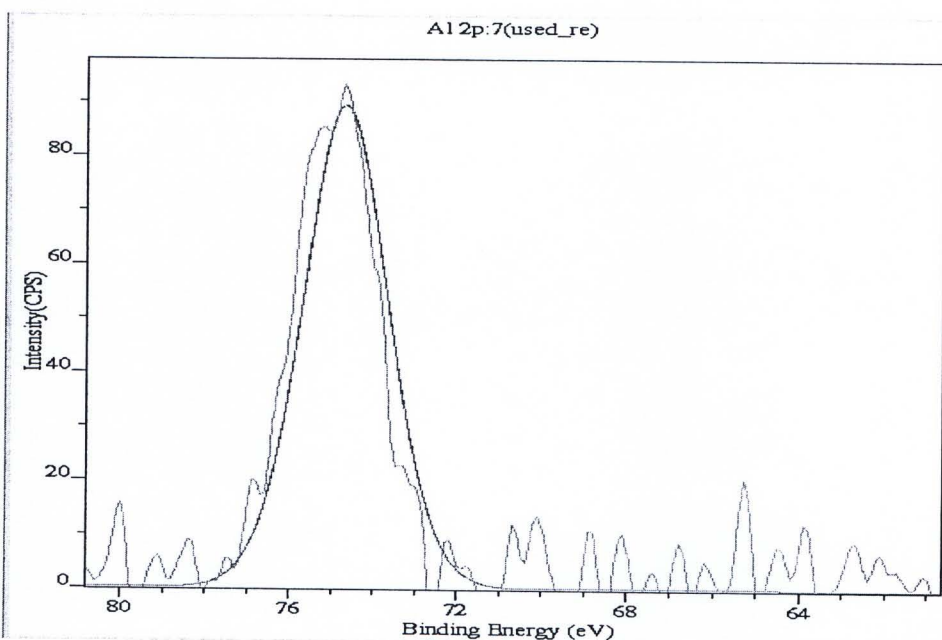
รูปที่ ก.1 ผล XPS ต่อตัวเร่งปฏิกิริยา Co-Mo/Al<sub>2</sub>O<sub>3</sub> ที่ยังไม่ได้ใช้งานในช่วงของ Cobalt



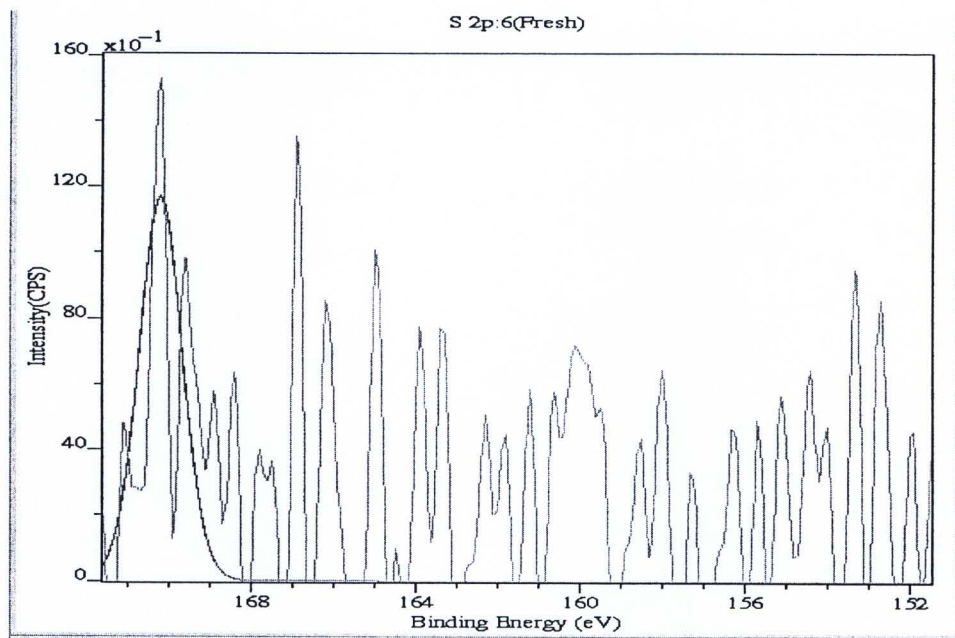
รูปที่ ก.2 ผล XPS ต่อตัวเร่งปฏิกิริยา Co-Mo/Al<sub>2</sub>O<sub>3</sub> ที่ใช้งานแล้วในช่วงของ Cobalt



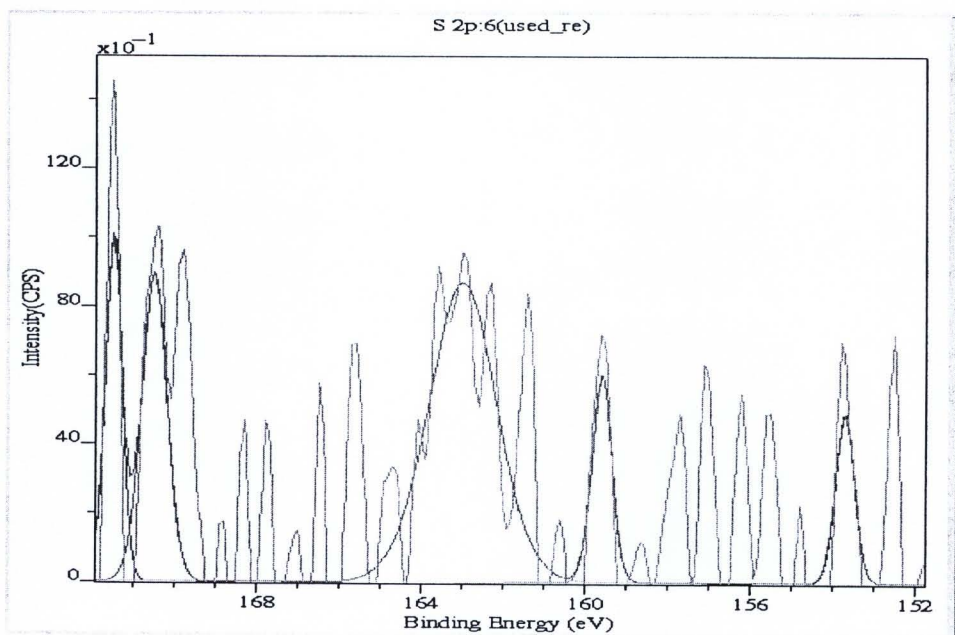
รูปที่ ก.3 ผล XPS ต่อตัวเร่งปฏิกิริยา Co-Mo/Al<sub>2</sub>O<sub>3</sub> ที่ยังไม่ได้ใช้งานในช่วงของ Aluminium



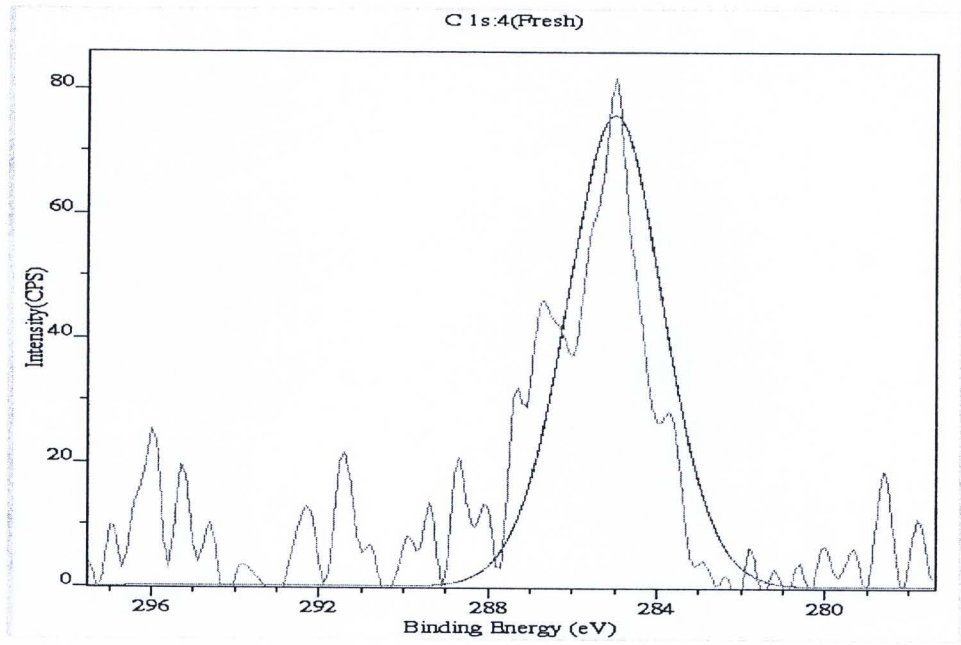
รูปที่ ก.4 ผล XPS ต่อตัวเร่งปฏิกิริยา Co-Mo/Al<sub>2</sub>O<sub>3</sub> ที่ผ่านการใช้งานแล้วในช่วงของ Aluminium



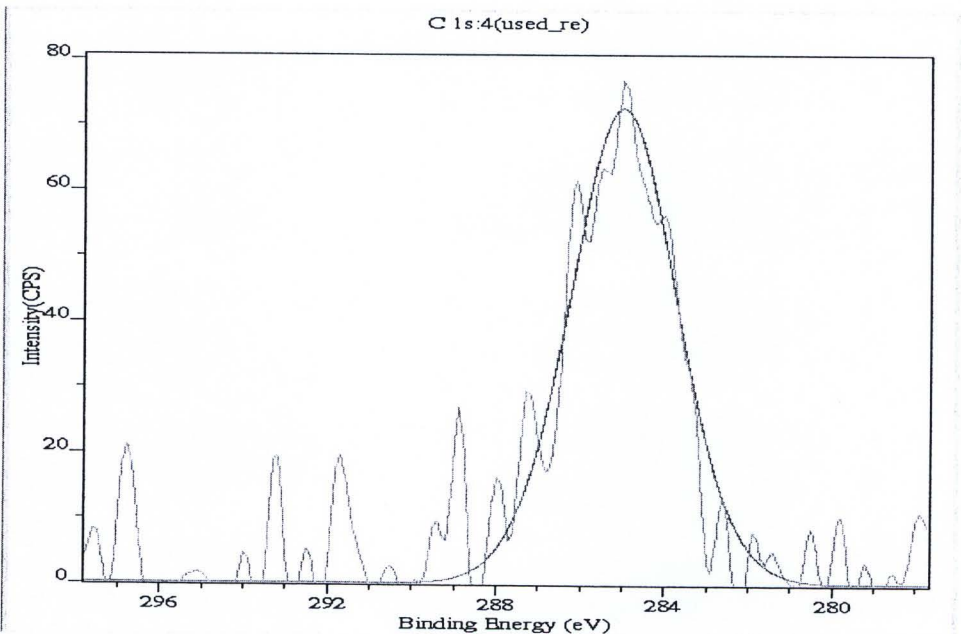
รูปที่ ก.5 ผล XPS ต่อตัวเร่งปฏิกิริยา Co-Mo/Al<sub>2</sub>O<sub>3</sub> ที่ยังไม่ได้ใช้งานในช่วงของ Sulfur



รูปที่ ก.6 ผล XPS ต่อตัวเร่งปฏิกิริยา Co-Mo/Al<sub>2</sub>O<sub>3</sub> ที่ผ่านการใช้งานแล้วในช่วงของ Sulfur



รูปที่ ก.7 ผล XPS ต่อตัวเร่งปฏิกิริยา Co-Mo/Al<sub>2</sub>O<sub>3</sub> ที่ยังไม่ได้ใช้งานในช่วงของ Carbon



รูปที่ ก.8 ผล XPS ต่อตัวเร่งปฏิกิริยา Co-Mo/Al<sub>2</sub>O<sub>3</sub> ที่ยังไม่ได้ใช้งานในช่วงของ Carbon

## ภาคผนวก ข

### การหาค่าขนาดของผลึกจากการทดลอง XRD

การหาขนาดของผลึกสามารถคำนวณได้โดยใช้ค่าความกว้างที่จุดกึ่งกลางของค่าสูงสุดจากกราฟแสดงผลการวิเคราะห์การกระเจิงรังสีเอกซ์ และสมการของ เดอบายน์-เชอเรอร์

จากสมการของเชอเรอร์

$$D = K\lambda / \beta \cos \Theta$$

เมื่อ

$$D = \text{ขนาดผลึก } (\text{\AA})$$

$$K = \text{ค่าคงที่ผลึก} = 0.9$$

$$\lambda = \text{ความยาวคลื่นของรังสีเอกซ์} = 1.5418 \text{ Å อังสตروم สำหรับ CuK}\alpha$$

$$\theta = \text{ค่ามุม ณ จุดสูงสุดที่อ่านได้}$$

$\beta = \text{ค่าการกระเจิงรังสีเอกซ์ (X-ray diffraction broadening) (เรเดียน) ซึ่งสามารถหาได้จากสูตรของ华伦}$

$$\beta = (B_M^2 - B_S^2)^{1/2}$$

เมื่อ

$$B_M = \text{ค่าความกว้างของพีกที่ให้ค่าสูงสุดในหน่วยเรเดียน ที่ครึ่งหนึ่งของความสูงมากสุด}$$

$$B_S = \text{ค่าความกว้างของสารมาตราฐาน}$$

ตัวอย่าง : การหาขนาดของผลึก  $\text{CoMoO}_4$  ในตัวเร่งปฏิกิริยา  $\text{Co-Mo}/\text{Al}_2\text{O}_3$  ที่ผ่านการใช้งานแล้ว  
จากรูป ข.1

$$B_M = (2\pi \times 1.34)/360$$

$$= 0.023 \text{ เรเดียน}$$

$$B_S = 0.00383 \text{ เรเดียน (แอลฟ่าอะลูминาเป็นสารมาตราฐาน)}$$

$$\text{ดังนั้น } \beta = (0.023^2 - 0.00383^2)^{1/2}$$

$$= 0.02306 \text{ เรเดียน}$$

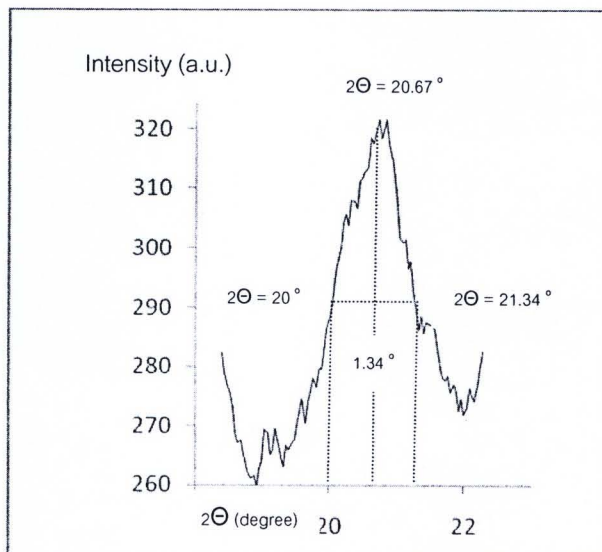
$$\text{เมื่อ } \beta = 0.02306 \text{ เรเดียน}$$

$$2\theta = 20.67^\circ$$

$$\theta = 10.335^\circ$$

$$\lambda = 1.5418 \text{ \AA}$$

ดังนั้น ขนาดของผลึก  $\text{CoMoO}_4 = (0.9 \times 1.5418) / 0.02306 \times \cos 10.335^\circ = 61.24 \text{ \AA}$   
 $= 6.12 \text{ nm}$



รูปที่ ๑ กราฟแสดงค่าความกว้างของพีกของ  $\text{CoMoO}_4$  ที่ครึ่งหนึ่งของความสูงที่มากที่สุด

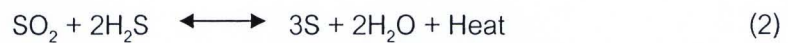
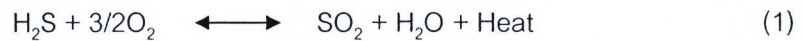
ตารางที่ ๑.๑ ขนาดของผลึกต่างๆ ในตัวเร่งปฏิกิริยา Co-Mo/Al<sub>2</sub>O<sub>3</sub> สมการของเซอเรอร์

ตำแหน่ง การเกิดพีค	ชนิดของผลึก	ความกว้าง พีค (°)	Bm	BS	ขนาดผลึก (nm)
Used $2\theta=20.67^\circ$	CoMoO <sub>4</sub>	1.34	0.0234	0.00383	6.12
Used $2\theta=37.40^\circ$	γ- Al <sub>2</sub> O <sub>3</sub>	1.4	0.0244	0.00383	6.09
Used $2\theta=45.84^\circ$	γ- Al <sub>2</sub> O <sub>3</sub>	1.08	0.0188	0.00383	8.13
Used $2\theta=67.28^\circ$	γ- Al <sub>2</sub> O <sub>3</sub>	1.6	0.0279	0.00383	6.01
Fresh $2\theta=37.40^\circ$	γ- Al <sub>2</sub> O <sub>3</sub>	2.04	0.0356	0.00383	4.15
Fresh $2\theta=45.84^\circ$	γ- Al <sub>2</sub> O <sub>3</sub>	1.8	0.0314	0.00383	4.81
Fresh $2\theta=67.28^\circ$	γ- Al <sub>2</sub> O <sub>3</sub>	1.88	0.0328	0.00383	5.10

## ກາຄົນວັດ ອ

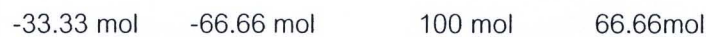
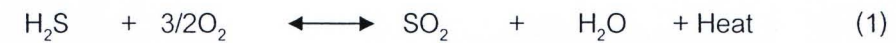
### IDEAL CLAUS REACTION

#### Claus Process Equation



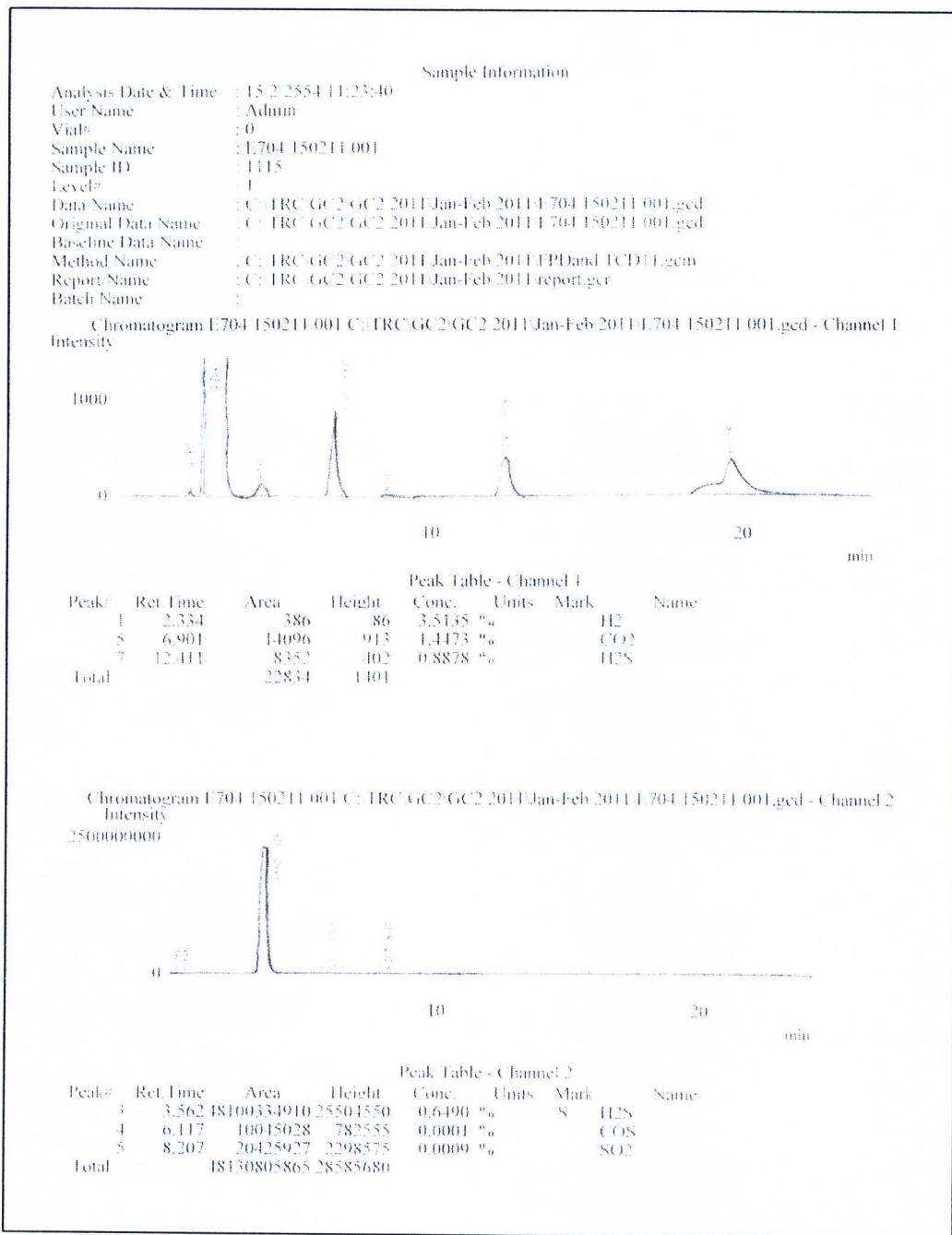
#### Ideal Claus Reaction

Let feed  $\text{H}_2\text{S} = 100$  moles

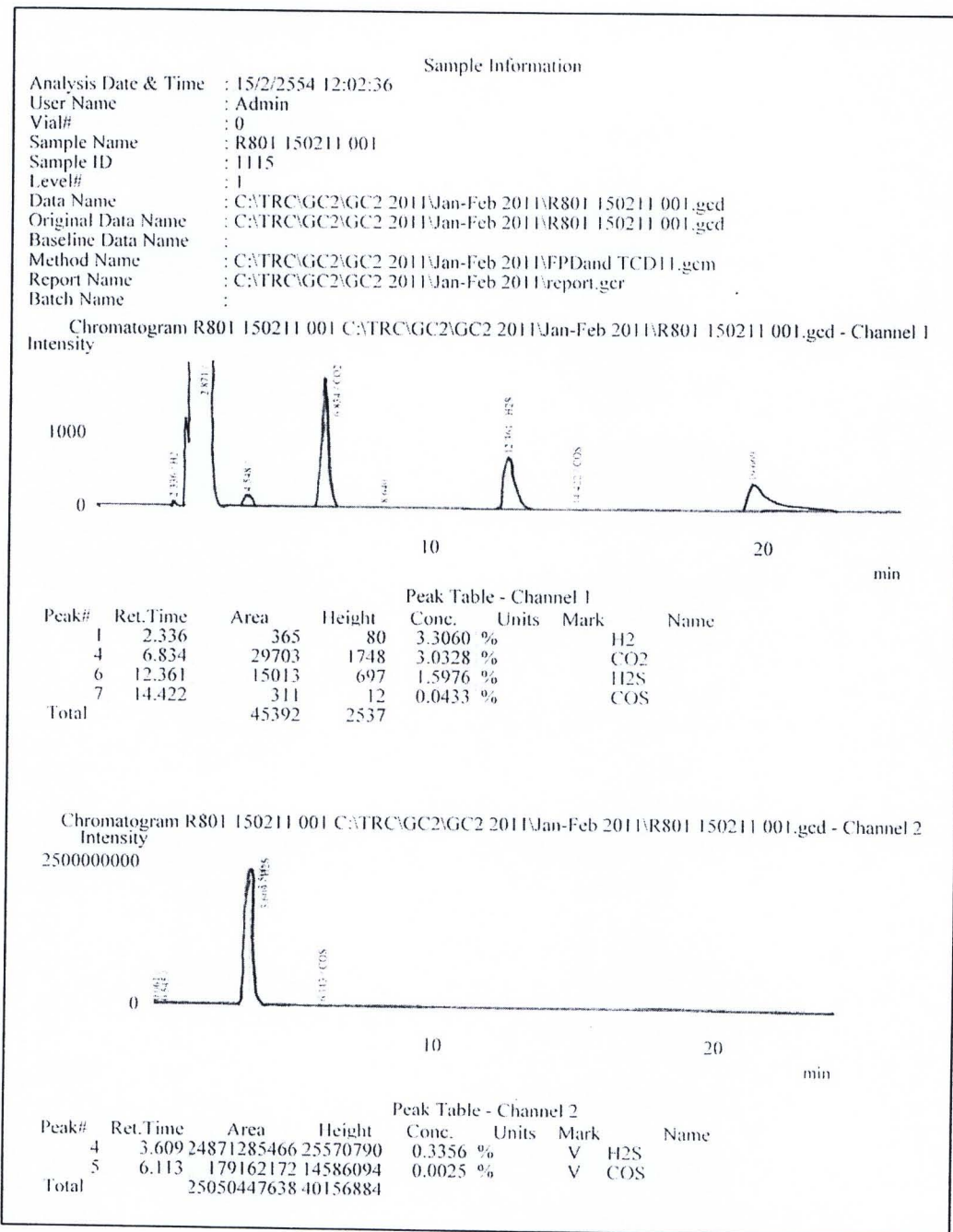


## ภาคผนวก ๑

### CHROMATOGRAM OF ACID GAS IN CLAUS PROCESS



รูปที่ ๑ ตัวอย่าง Chromatogram ของก๊าซทางเข้าถังปฏิกรณ์



รูปที่ 4.2 ตัวอย่าง Chromatogram ของกําชทางออกลั่งปฏิกรัตน์

ประวัติผู้เขียนวิทยานิพนธ์



นาย ปรัชญา วรสิทธิ์ เกิดเมื่อวันที่ 24 พฤศจิกายน พ.ศ.2522 ที่จังหวัดขอนแก่น จบการศึกษาระดับมัธยมศึกษาตอนปลายที่ โรงเรียนสาธิตคณะศึกษาศาสตร์ มหาวิทยาลัยขอนแก่น ในปีพ.ศ.2541 และได้รับประกาศนียบัตรบัณฑิต สาขาวิชา วิศวกรรมเคมี จากมหาวิทยาลัยขอนแก่น เมื่อปีพ.ศ. 2545

บทความวิจัยเรื่อง “การเติ่อมประสิทธิภาพของตัวเร่งปฏิกิริยาโคบโอลต์-โมลิบเดียม/อะลูมินาในปฏิกิริยาไฮโดรเจนชัน” หรือ “Deactivation of Co-Mo/Al<sub>2</sub>O<sub>3</sub> catalyst via hydrogenation” ได้ถูกตีพิมพ์ใน วารสารการประชุมทางวิชาการ ครั้งที่ 49 มหาวิทยาลัยเกษตรศาสตร์ สาขาวิชาสถาปัตยกรรมศาสตร์และวิศวกรรมศาสตร์ เล่มที่ 6 ปี พ.ศ. 2554 หน้า 369-376

